

Д.В. Ворошук

О РАДИАЛЬНО-ЛУЧИСТОЙ ТРЕЩИНОВАТОСТИ ПОРОДООБРАЗУЮЩИХ МИНЕРАЛОВ БЛАСТОМИЛОНИТОВ

Среди разнообразных структур породообразующих минералов, присутствующих в бластомилонитах Ильменогорско-Сысертской полиметаморфической зоны, впервые отмечена необычная радиально-лучистая трещиноватость. Клинопироксены с подобной трещиноватостью (рис. 1) обнаружены в будине (3x9 метров) бластомилонитов по пироксеновым фенитам среди гранат-биотитовых бластомилонитов на западном берегу оз. Ишкуль, в апофенитовых бластомилонитах на р. Аткус и в р-не д. Мухаметово. Амфиболы с радиально-лучистой трещиноватостью (рис. 2) встречены в апоамфиболитовых бластомилонитах на северо-восточном берегу оз. Синара (Сысертский комплекс). Также радиально-лучистая трещиноватость отмечена в порфирокластах полевого шпата (рис. 3) из "вторичных(?) карбонатитов в обнажениях у строящегося водовода на трассе Кыштым-Карбаш. Подобные "брекчиевидные" породы с карбонатным цементом встречаются в пределах Увильдинской щелочной полосы среди кварц-полевошпатовых, биотит-полевошпатовых и амфибол-биотитовых бластомилонитов. Для

этих пород характерны отчетливая линейная текстура и наличие обломков минералов вмещающих бластомилонитов (слюды, полевые шпаты). В карбонатном цементе также встречаются крупные обломки кальцита, окруженные мелкозернистой матрицей.

Обычно, расходящиеся из центра трещины не выходят за пределы порфирокластов, что, возможно, связано с развитием трещиноватости до формирования бластомилонитов. Только в одном порфирокласте амфибала (апофенитовый бластомилонит (южный берег оз.Ишкуль)) обнаружена радиально-лучистая трещиноватость, выходящая за границу порфирокласта и отчетливо проявленная в основной массе породы. Трещины, фиксируемые границами сегментов калиевого полевого шпата, заполнены мелкозернистым кварц-полевошпатовым новообразованным агрегатом. Также стоит отметить, что радиально-лучистая трещиноватость, рассекающая основную массу породы, встречается вокруг отдельных зерен ортита в бластомилонитах.

Подобные структуры описаны в литературе [Хейнз, 1966; Чесноков, 1956 и др.], но

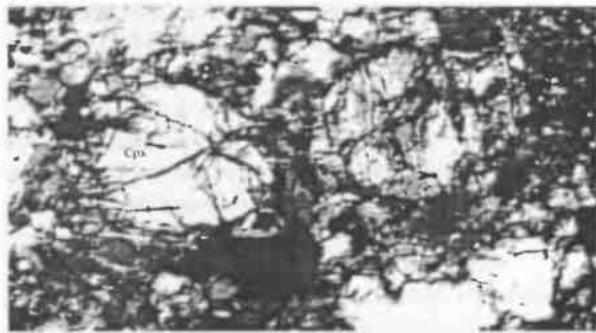


Рис. 1. Порфирикласт клинопироксена с радиально-лучистой трещиноватостью из апофенитовых бластомилонитов (западный берег оз.Ишкуль).

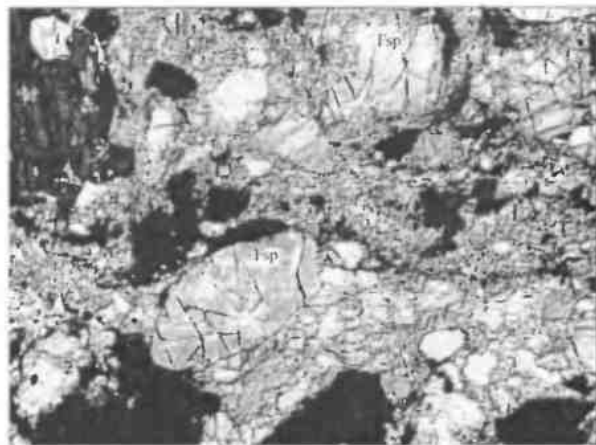


Рис. 3. Порфирикласты полевого шпата с радиально-лучистой трещиноватостью из “вторичных(?)” карбонатитов (трасса Кыштым-Карбаш).

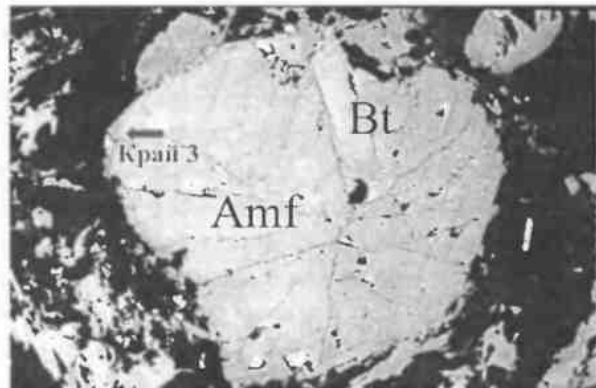


Рис. 2. Порфирикласт амфиболя с радиально-лучистой трещиноватостью из апоамфиболитовых бластомилонитов (р-он оз. Синара).

Стрелкой показана кайма новообразованного амфиболя с повышенным содержанием Al^{VI} (табл. 2, В63-1, край 3).

только как возникшие под влиянием включений радиоактивных минералов урана и тория. Вследствие распада радиоактивных элементов, входящих в состав подобных минералов, увеличивается объем зерна, что приводит к растрескиванию минерала-“хозяина”.

В рассмотренных образцах апофенитовых бластомилонитов присутствует две разновидности порфирикластов клинопироксенов. Первая - это сильно раздробленные зерна с трещинами вдоль спайности и кливажных плоскостей, по которым развивается мелкозернистый агрегат, состоящий из актинолита и хлорита. Обычно трещины расположены вдоль длинной стороны порфирикластов. Вторая разновидность – это зерна с радиально-лучистой трещиноватостью. В целом по химическому составу клинопироксены относятся к ферросалитам (табл. 1). Новообразованные клинопироксены, по сравнению с реликтовыми, менее глиноземистые и титанистые. Уменьшается железистость и возрастает содержание Ca от порфирикластов к новообразованным зернам. Порфирикласты с радиально-лучистой трещиноватостью более глиноземистые и натровые по составу, чем порфирикласты с “обычной” трещиноватостью.

Наличие зерен с различной трещиноватостью характерно и для порфирикластов амфиболов в апоамфиболитовых бластомилонитах. При различии в трещиноватости отмечается различие и в химическом составе порфирикластов (табл. 2). В целом обе разновидности амфиболов, разделяемые нами по текстурному рисунку, характеризуются падением железистости и титанистости от порфирикластов к новообразованным зернам, что свидетельствует о снижении температуры при формировании бластомилонитов. Существенная разница проявляется в вариациях содержания глинозема в четверной и шестерной координации. Для порфирикластов с радиально-лучистой трещиноватостью характерно возрастание содержания Si и снижение Al^{VI} , Al^{IV} и Na от центра к краевой зоне. В целом для этого типа зерен характерно повышенное содержание Na .

В “обычных” порфирикластах отмечается возрастание содержания Al^{VI} и в меньшей степени – Al^{IV} . Новообразованные зерна в матрице, для обоих случаев, показывают повышенное содержание Al^{VI} , что связано с возрастанием давления при их образовании.

Таким образом, на фоне общего снижения температуры при формировании бластомилонитов наблюдается различное поведение пор-

Таблица 1

Химические составы (мас.%) и кристаллохимические формулы клинопироксенов из порфирикластов и рекристаллизованной матрицы гранитоидных бластомилонитов

Образец	B44-8	B44-8	B44-8	B44-8	B44-8	B44-8
Пироксен	центр	края	н. зерно	центр	края	н. зерно
Радиально-лучистая трещиноватость				Обычная трещиноватость		
SiO ₂	50.988	50.847	51.152	50.3	50.132	50.6
TiO ₂	0.116	0.085	0.067	0.039	0.024	0.031
Al ₂ O ₃	1.396	1.188	0.706	0.872	0.525	0.707
FeO	15.854	15.61	15.006	16.167	15.384	15.772
MnO	0.81	0.891	0.985	0.938	0.91	0.873
MgO	7.415	7.639	8.204	7.757	7.818	8.025
CaO	20.62	21.015	21.616	21.374	21.906	21.186
Na ₂ O	1.766	1.616	1.283	1.421	1.203	1.576
K ₂ O	0	0.013	0.016	0.004	0	0.006
Sum	98.976	98.904	99.036	98.872	97.9	98.774
Формульные коэффициенты						
Na	0.133	0.12	0.1	0.11	0.1	0.12
Mg	0.43	0.44	0.5	0.45	0.46	0.464
Mn	0.03	0.03	0.032	0.031	0.03	0.03
Ti	0.0034	0.0025	0.002	0.0011	0.000715	0.0009
Fe ²⁺	0.445	0.444	0.418	0.456	0.429	0.424
Fe ³⁺	0.069	0.066	0.068	0.07	0.076	0.088
Al ^{VI}	0.04	0.024	0.012	0	0	0
Si	1.976	1.97	1.98	1.96	1.97	1.963
Al ^{IV}	0.024	0.03	0.02	0.04	0.024	0.032
F, %	54.45	53.68	42.29	53.89	52.33	52.46

Примечание. Центр-края – центральная и краевая зона порфирикластов, н. зерно – новообразованный минерал из матрицы.

фирикластов по отношению к давлению. Давление при формировании гранитоидных бластомилонитов, в целом, возрастало, что характеризуется повышенным содержанием глинозема в шестерной координации в новообразованных зернах и краевой зоне порфирикласта амфибала с “обычной” трещиноватостью. Для порфирикластов с радиально-лучистой трещиноватостью, наоборот характерно падение давления от центра к краевой зоне. Но, при этом, наличие краевой зоны (B63-1: край 3) с повышенным содержанием Al^{VI} свидетельствует, что в данном случае вокруг реликтового зерна с радиально-лучистой трещиноватостью формируется кайма новообразованного амфибала, формирующегося в условиях повышенного давления.

Проявление радиально-лучистой трещи-

новатости в минералах, в первую очередь, возможно связано с включениями радиоактивных минералов, о чем упоминалось выше. При этом необходимо отметить, что нами визуально такие включения в порфирикластах не наблюдались, что может быть связано с техническими проблемами изготовления шлифов. Другой возможный вариант – проявлением подобной трещиноватости может фиксироваться сброс давления в порфирикластах на заключительном этапе формирования гранитоидных бластомилонитов. Также, вероятно, возможна и синхронизация обоих процессов. Обнаружение каймы новообразованного амфибала с повышенным содержанием глинозема в шестерной координации вокруг порфирикластов с радиально-лучистой трещиноватостью может свидетельство-

Таблица 2

Химические составы (мас.%) и кристаллохимические формулы амфиболов из порфирокластов и рекристаллизованной матрицы гранитоидных бластомилонитов

Образец	B63-1	B63-1	B63-1	B63-1	B63-1	B63-1	B63-1	B63-1	B63-1
Амфибол	центр	край	н. зерно 1	н. зерно 2	центр	край 1	край 2	н. зерно 1	край 3
Обычная трещиноватость					Радиально-лучистая трещиноватость				
SiO ₂	46.89	47.501	46.769	46.085	43.337	45.052	48.115	49.532	46.82
TiO ₂	0.621	0.543	0.257	0.641	1.201	0.931	0.486	0.324	0.653
Al ₂ O ₃	6.963	7.09	7.88	8.472	10.538	8.84	6.54	7.522	7.283
FeO	13.64	12.97	13.533	14.746	15.336	14.492	13.015	13.559	13.699
MnO	0.405	0.364	0.387	0.368	0.409	0.362	0.399	0.381	0.424
MgO	12.975	13.258	12.993	12.282	11.353	11.945	13.756	13.27	13.357
CaO	12.3	12.392	12.435	12.322	12.061	12.128	12.278	11.743	12.257
Na ₂ O	1.004	0.727	0.814	0.605	1.391	1.036	0.725	0.73	0.859
K ₂ O	0.641	0.658	0.504	0.86	1.224	0.952	0.532	0.788	0.633
Sum	95.439	95.503	95.57	96.381	96.85	95.738	95.846	97.848	95.985
Формульные коэффициенты									
K	0.123	0.125	0.1	0.16	0.234	0.18	0.1	0.145	0.12
Ca	2	1.98	1.99	1.96	1.94	1.96	1.95	1.816	1.912
Na	0.29	0.21	0.23	0.17	0.404	0.3	0.21	0.204	0.24
Mg	2.9	2.95	2.9	2.73	2.54	2.68	3.03	2.85	2.9
Mn	0.05	0.046	0.05	0.046	0.052	0.046	0.05	0.046	0.052
Ti	0.07	0.06	0.03	0.07	0.135	0.105	0.054	0.035	0.0715
Fe ²⁺	1.583	1.485	1.47	1.52	1.571	1.46	1.288	1.271	1.517
Fe ³⁺	0.127	0.135	0.23	0.32	0.352	0.26	0.322	0.369	0.153
Al ^{V1}	0.25	0.35	0.4	0.39	0.36	0.35	0.25	0.43	0.7
Si	7.04	7.1	7	6.9	6.5	6.78	7.11	7.15	6.82
Al ^{IV}	0.93	0.9	1	1.1	1.5	1.22	0.89	0.85	1.18
F, %	37.1	35.45	37	40.3	43.1	41	35	36.5	36.5

Примечание. Центр-край – центральная и краевая зона порфирокласта, н. зерно – новообразованный минерал из матрицы.

вать о многоэтапности процессов метаморфического преобразования пород при хрупко-пластичных деформациях.

В отношении нахождения радиально-лучистой трещиноватости в более пластичных минералах (например: слюдах и др.), следует отметить, что при воздействии радиоактивных минералов на амфиболы, клинопироксены и гранаты, они будут разрываться и деформироваться хрупко. В пластичных же минералах радиально-лучистые трещины могут быть пла-

стично изогнуты, вследствие давления со стороны “жестких” минералов-включений на минерал-“хозяин” или на окружающие минералы.

Список литературы

Хайнз В. Трещиноватость около метамиктных минералов // Генезис минеральных индивидов и агрегатов (онтогенезия минералов). М.: Наука, 1966. С. 132–138.

Чесноков Б.В. Определение приращения объема минерала при метамиктном распаде // Записки Всес. Мин. об-ва, 1956. Ч.85. Вып.4. С. 580–583.